

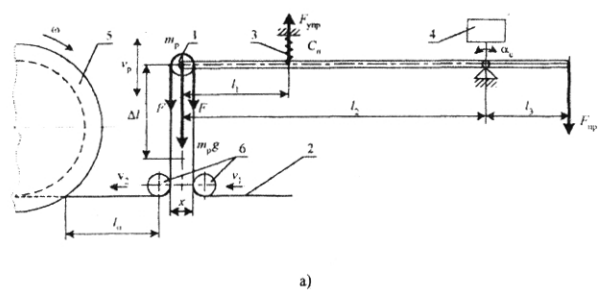
УДК 677.024:62-83

ИССЛЕДОВАНИЕ НАТЯЖЕНИЯ НИТИ В ПРОЦЕССЕ ЕЕ ПЕРЕМАТЫВАНИЯ ЭЛЕКТРИФИЦИРОВАННЫМ МОТАЛЬНЫМ БАРАБАНЧИКОМ

В.Ф. ГЛАЗУНОВ, П.В. ВИЛКОВ, В.Ф. СИДЯКИН

(Ивановский государственный энергетический университет)

С целью исследования натяжения нити при ее перематывании на патрон электрифицированным мотальным барабанчиком, например, из центрифуги прядильного модуля, на разработанном экспериментальном стенде [1] непосредственно у ните-раскладчика был установлен датчик натяжения в виде петлеобразователя с упругим элементом, а также датчик угла поворота рамы с патроном, построенный на основе сельсина СБМТЗ-1.



a)

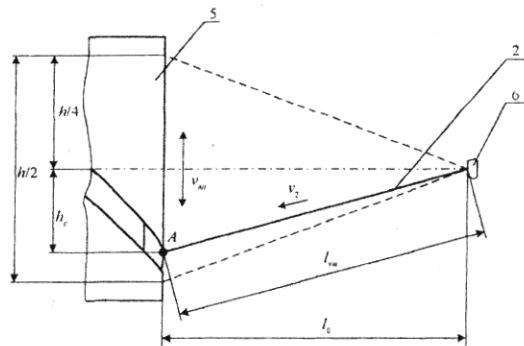


Рис. 1

Петлеобразователь в виде кинематической схемы представлен на рис. 1-а, где

основным элементом является измерительный ролик 1, охватываемый нитью 2. Положение ролика зависит от разности скоростей v_1 и v_2 движения нити на ните-направителях 6, а также приведенной к измерительному ролику массы подвижных частей m_p петлеобразователя, модуля упругости E нити и коэффициента жесткости C_n упругого элемента 3. Здесь же показаны мотальный барабанчик 5, наложенный на внешний ротор асинхронного двигателя [1] и раскладывающий нить вдоль оси бобины, и сельсин 4, который используется в качестве электромагнитного датчика положения измерительного ролика.

В процессе перемотки под действием натяжения нити изменяется угол α_c поворота ротора сельсина 4, что позволяет судить о натяжении нити при ее перемотке, а также контролировать его с помощью осциллографа. Расстояние от ните-направителей 6 датчика натяжения до поверхности барабанчика 5 можно изменять, изменения соответственно натяжение нити.

Линеаризованная система дифференциальных уравнений петлеобразователя с учетом упругих свойств нити, представленная в операторной форме, имеет вид [2], [3]:

$$v_1 \varepsilon \left(\frac{\ell}{v_1} s + 1 \right) = (v_2 - v_1 + v_2 \varepsilon_0 \pm k_r v_p); \\ F = E \varepsilon; \quad (1)$$

$$k_r F - C_n \Delta \ell - G = m_p s^2 \Delta \ell,$$

где v_p – скорость линейного перемещения ролика, м/с; Δl – отклонение измерительного ролика от начального положения, м; l – длина нити в зоне деформации, м; F – натяжение нити, Н; E – модуль упругости нити, приведенный к площади ее поперечного сечения, Н; G – приведенный к измерительному ролику вес неуравновешенной части датчика, Н; C_n – приведенный к ролику коэффициент жесткости пружины, Н/м; ε_0 и ε – соответственно входное и текущее значения относительного удлинения нити; k_r – постоянный коэффициент, учитывающий геометрию охвата нитью ролика, определяемый соотношением [2]:

$$k_r = \frac{2 \Delta l}{\sqrt{(\Delta l)^2 + \left(\frac{x}{2}\right)^2}}. \quad (2)$$

Для петлеобразователя, представленного на рис. 1-а, $k_r = 2$.

Наматывание нити происходит в результате взаимодействия боковой поверхности паковки с вращающимся с угловой скоростью ω мотальным барабанчиком (рис. 1-б). По ширине паковки нить 1 распределается благодаря возвратно-поступательному перемещению со скоростью v_{bp} образующей мотального барабанчика 3, расположенной непосредственно на нем в виде винтовой канавки. При этом нить наматывается на паковку под некоторым углом, образуя крестовую намотку.

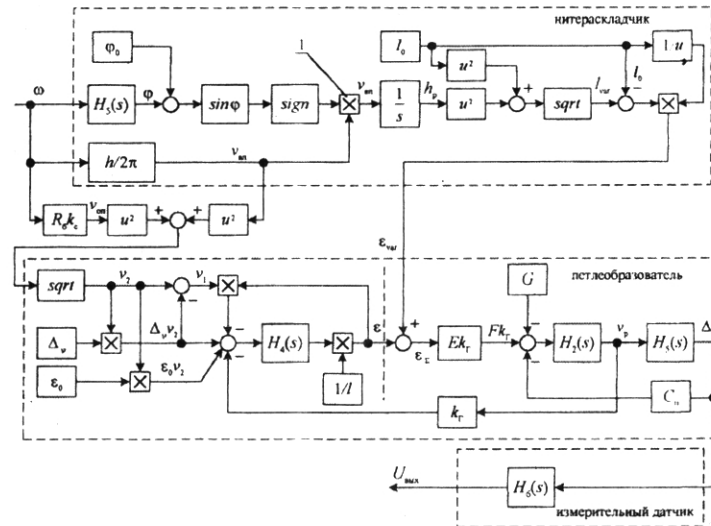


Рис. 2

Скорость перематывания нити v_2 на мотальных механизмах крестовой намотки определяется в соответствии с [4], м/с:

$$v_2 = \sqrt{v_{op}^2 + v_{bp}^2} = \sqrt{(\omega k_c R_b)^2 + \left(\frac{h \omega}{2\pi}\right)^2}, \quad (3)$$

где $v_{op} = k_c v_{ob}$ – окружная скорость вращения паковки [4], м/с; k_c – коэффициент скольжения бобины на барабанчике (для цилиндрической бобины $k_c \approx 0,95$ [5]); $v_{ob} = R_b \omega$ – окружная скорость вращения мотального барабанчика, м/с; $v_{bp} = \frac{\omega h}{2\pi}$ –

относительная скорость движения раскладки нити вдоль паковки, м/с; R_b и h – соответственно внешний радиус и шаг винтовой канавки мотального барабанчика, м.

При вращении двигателя нитераскладчик совершает колебания и расстояние l_{var} между точкой расклада нити А и нитенаправителем 2 изменяется (рис. 1-б), соответственно изменяется натяжение нити и ее относительное удлинение ε_{var} :

$$\varepsilon_{var} = \frac{l_{var} - l_0}{l_0}, \quad (4)$$

где $l_{var} = \sqrt{l_0^2 + h_p^2}$; h_p – расстояние от середины мотального барабанчика до точки расклада нити, м.

В соответствии с (1...4) на рис. 2 изображена математическая модель перематывающего механизма и датчика натяжения, построенная без учета вязких свойств нити и ее массы.

На вход модели подается угловая частота вращения ω мотального барабанчика, насаженного на внешний ротор асинхронного двигателя [1], математическая модель которого на рис. 2 не показана.

Модель петлеобразователя представлена передаточными функциями, полученными из (1):

$$H_1(s) = \frac{\varepsilon(s)}{\Delta v(s)} = \frac{1/v_1}{\frac{\ell}{v_1}s + 1}, \quad (5)$$

$$H_2(s) = \frac{v_p(s)}{F(s)} = \frac{1}{m_p s}, \quad (6)$$

$$H_3(s) = \frac{\Delta \ell(s)}{v_p(s)} = \frac{1}{s}, \quad (7)$$

где $\Delta v(s) = (v_2 - v_1 + v_2 \varepsilon_0 \pm k_r v_p)(s) = (\Delta_v v_2 + v_2 \varepsilon_0 \pm k_r v_p)(s)$; $\Delta_v = (v_2 - v_1)/v_2$ – относительная разность между скоростями v_1 и v_2 вследствие действия трения нити в направляющих устройствах и о ролику петлеобразователя; $F(s) = (k_r E \varepsilon - C_n \Delta \ell - G)(s)$; $\ell = 2 \Delta \ell$ – длина нити в петлеобразователе.

Вследствие того, что отношение ℓ/v_1 во время пуска и работы мотального механизма не постоянно, передаточная функция $H_1(s)$ на рис. 2 показана в виде интегратора с передаточной функцией $H_4(s) = 1/s$, охваченного отрицательной обратной связью.

Скорость раскладки нити v_{bp} через каждую половину оборота мотального барабанчика изменяет свой знак на противоположный. Соответственно в модели нитераскладчика это учитывается с помощью блока умножения 1, а также блоков $H_5(s) = 1/s$ (определяется угловое положение ротора сельсина), $\sin \phi$ и sign (определяется синус угла и знак угла поворота сельсина).

Суммарное относительное удлинение $\varepsilon_\Sigma(s)$ получаем сложением переменной составляющей $\varepsilon_{var}(s)$ с постоянной $\varepsilon(s)$.

Измерительный датчик представлен следующей передаточной функцией:

$$H_6(s) = \frac{U_{\text{вых}}(s)}{\Delta \ell(s)} = \frac{k \sin \alpha_c}{T_\phi s + 1}, \quad (8)$$

где $U_{\text{вых}}$ – напряжение на выходе сельсина, В; k – коэффициент, определяемый параметрами сельсина [2], [6]; α_c – угол поворота сельсина, рад; T_ϕ – постоянная времени фильтра, с.

Моделирование процесса перемотки проводили при следующих параметрах механизма перемотки: $k = 13,5$; $T_\phi = 0,0225$ с; $C_n = 25,01$ Н/м; $G = 0,032$ Н; $m_p = 0,0033$ кг; $\varepsilon_0 = 0,01$; $\Delta_v = 0,001$; $\Delta l = 50$ мм; $l_1 = 27,8$ мм; $l_2 = 80,1$ мм; $l_3 = 21,8$ мм (рис. 1-а); $R_b = 0,0425$ м и $h = 0,08$ м [1]. В процессе моделирования были приняты два значения $l_0 = 0,1; 0,25$ м.

На рис. 3 представлены временные зависимости скорости раскладки нити вдоль паковки $v_{bp}(t)$ (а); расстояния точки расклада нити от центра мотального барабанчика $h_p(t)$ (б); переменной составляющей относительного удлинения $\varepsilon_{var}(t)$ для $l_0 = 0,1$ м (в) и $l_0 = 0,25$ м (г); постоянной составляющей относительного удлинения $\varepsilon(t)$ для $l_0 = 0,1$ м (д) и $l_0 = 0,25$ м (е); суммарного относительного удлинения $\varepsilon_\Sigma(t)$ для $l_0 = 0,1$ м (ж) и $l_0 = 0,25$ м (з), полученные при разгоне мотального барабанчика.

Анализ полученных зависимостей позволяет установить существенное влияние на натяжение нити составляющей, обусловленной процессом ее раскладки (рис. 3-в, г), в значительной степени зависящей от расстояния l_0 в зоне ее деформации. Так, при уменьшении этого расстояния в 2,5 раза натяжение возрастает в 4 раза. При этом в процессе перематывания нити ее натяжение в период разгона мотального барабанчика может недопустимо ослабляться (рис. 3-д), причем тем больше, чем меньше l_0 .

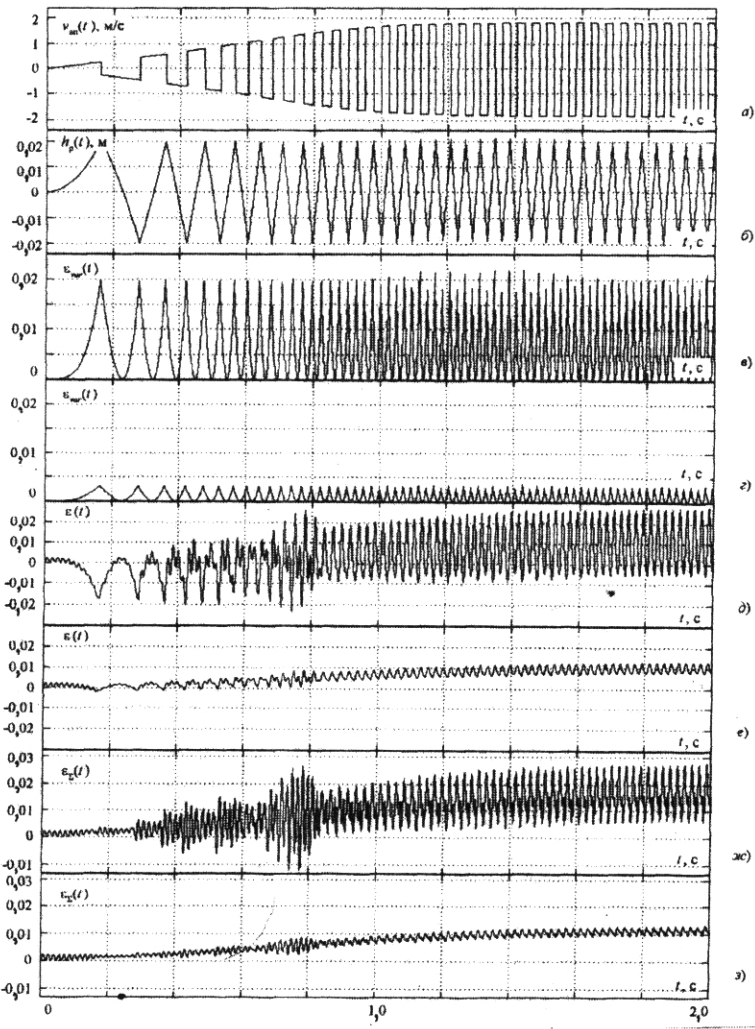


Рис. 3

Несмотря на то, что представленная выше математическая модель перематывающего механизма является детерминированной и не учитывает действующие случайные возмущения, обусловленные силами трения, имеют место значительные нелинейные пульсации натяжения нити, особенно в процессе пуска механизма.

Сопоставление процессов разгона, полученных моделированием на ЭВМ, с результатами эксперимента, выполнено на

экспериментальном стенде [1] с параметрами механизма и датчика, представленными выше. Нить при этом перематывалась хлопчатобумажная толщиной 80 текс. Переходный процесс натяжения нити регистрировался цифровым запоминающим осциллографом С9-8, с помощью которого необходимые данные о натяжении нити вводились в ЭВМ.

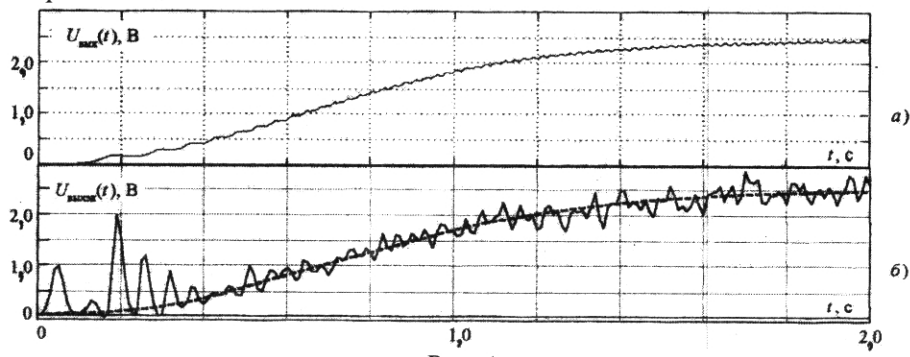


Рис. 4

Графики переходных процессов натяжения при пуске изображены на рис. 4. Здесь $U_{\text{вых}}(t)$ – выходное напряжение сельсина (а), полученное в результате моделирования; $U_{\text{вых.эк}}(t)$ – напряжение сельсина (б), полученное в ходе эксперимента.

Графики свидетельствуют о достаточно хорошем совпадении средних значений переменных. Эксперимент при этом показывает наличие значительных бросков натяжения в начальный период разгона вследствие трения нити о поверхность паковки, с которой перематывается нить в связи с отсутствием в этот период баллона, образуемого нитью в нормальном режиме работы.

Использование в качестве привода мотального барабанчика асинхронного двигателя с внешним ротором позволяет регулировать скорость намотки при разгоне и таким образом формировать необходимое натяжение нити в период разгона механизма.

ВЫВОДЫ

1. В процессе перемотки нити на паковку электрифицированным мотальным

барабанчиком установлена зависимость ее натяжения от длины в зоне деформации.

2. Выявлено, что в начальный период разгона мотального барабанчика имеет место неконтролируемое возрастание натяжения нити, обусловленное силами ее трения о поверхность сматываемой паковки.

ЛИТЕРАТУРА

1. Глазунов В.Ф. и др. // Технология текстильной промышленности. – 2001, №3. С.91...95.
2. Глазунов В.Ф., Литвинский А.Н., Куленко М.С. Инженерные расчеты взаимосвязанных электроприводов текстильных машин. – Иваново, ИГЭУ, 1999.
3. Быстров А.М., Глазунов В.Ф. Многодвигательные автоматизированные электроприводы поочных линий текстильной промышленности. – М.: Легкая индустрия, 1977.
4. Задерий Г.Н. Основные технологические процессы в прядении. – Л.: ЛГУ, 1987.
5. Труевцев Н.И., Труевцев Н.Н., Гензер М.С. Технология и оборудование текстильного производства. – М.: Легкая индустрия, 1975.
6. Забродин Ю.С. Промышленная электроника. – М.: Высшая школа, 1982.

Рекомендована кафедрой электропривода и автоматизации промышленных установок. Поступила 07.02.02.